

VLIV KMENE KVASNIC NA SENZORIZICKOU STABILITU PIVA

THE EFFECT OF YEAST STRAIN ON FLAVOUR STABILITY OF BEER

GABRIELA BASÁŘOVÁ, MARTIN BLÁHA, PETR VESELÝ, Ústav kvasné chemie a bioinženýrství
Vysoká škola chemicko-technologická, Praha

Klíčová slova: oxid siřičitý, kvasničný kmen, senzorická stabilita

Keywords: sulphur dioxide, strain of brewing yeast, flavour stability

1 ÚVOD

Vlastnosti kmene kvasnic jsou vedle kvality surovín a podmínek technologie odpovědné za choufou vlastnosti a podílejí se i na tzv. přirozené koloidní stabilitě piva. Během kvašení produkují kvasnice řadu typických základních buketních látek, jako jsou estery, vyšší alkoholy a mastné kyseliny. Jednotlivé kmeny mají rozdílné genetické předpoklady k tvorbě těchto látek, ale i k náchylnosti na změny metabolických cest jejich vzniku způsobené podmínkami výrobního procesu. Koloidní a senzorickou stabilitu piva ovlivňují kvasnice metabolismem sírových sloučenin, jehož výsledkem je produkce oxidu siřičitého. Zachování čerstvé chuti po dobu sladování podporují dále enzymové aktivity kvasnic, kterým jsou schopné redukovat karbonylové látky mladin. V obou případech se jedná o vlastnosti, které se mohou u jednotlivých kmennů lišit vzhledem k jejich genetické dispozici, ale současně i vlivem citlivosti na podmínky kvašení.

Oxid siřičitý svými antioxidačními a redukčními vlastnostmi chrání pivo z velké části před negativním vlivem rozpuštěného kyslíku a fády karbonylových sloučenin [1, 2, 3]. Je schopen inhibovat chemiluminescenci, z čehož vyplývá schopnost "vychytávat" aktivní kyslík a tím zpomalovat radikálové reakce [4, 5]. Hodnota oxidu siřičitého v pivu se poohýbá nejvýše do 20 mg.l^{-1} , pojenecky do 15 mg.l^{-1} . Koncentrace nad 30 mg.l^{-1} , které se však v praxi běžně nevykytuje, by již narušily chutové vlastnosti piva [2]. Tvorba oxidu siřičitého je věrný závislost na genetických vlastnostech používaného kmene kvasnic [6]. Zvýšuje ji koncentrace a vyšší hodnota pH mladin, obsah sírových aminokyselin a sulfátů v mladině a podle některých autorů i vyšší nadávková dávka kvasnic. Nižší hladiny podporují vyšší provzdušnění a vyšší koncentrace nenasycených lipidů v mladině [7, 8, 9, 10].

Kmeny kvasnic se liší schopností redukovat mladínových karbonylů, které se vytvořily již při sladování a varním procesu, nejčastěji v rámci Maillardových reakcí aminokyselin a sacharidů. Střeckerovy degradace aminokyselin a enzymové i neenzymové degradace lipidů [11]. Tyto aldehydy jsou substráty pro kvasničné reduktasy, které je degradují na alkoholy. Jsou známy dva enzymové

systémy této vlastnosti: alkoholreduktaza katalyzující redukci pentanalu a pentenalu a aldoreduktasa specifická pro 3-methylbutanal a pentanal [12]. K charakterizaci jednotlivých reduktas tohoto typu byla v předešlých pracích našeho pracoviště vyvinuta a postupně zdokonalena metoda purifikace kvasničné NADPH 3-methylbutanal reduktasy a pomocí specifické elektroforetické detekce prokázána existence dvou kvasničných NADPH reduktas specifických pro 3-methylbutanal [13].

V tomto článku jsou shrnuty výsledky výzkumu vlastností tří kmennů kvasnic používaných v provozu českých pivovarů z hlediska tvorby oxidu siřičitého a aktivity reduktas aldehydů a související těchto vlastnosti s rozdíly v průběhu růstové krvíky, míry hydrofobicity a absorpcie aminokyselin. Bylo rovněž sledováno, jakým kmenem kvasnic na změny oxidačně-redukční kapacity a změny koncentrace polyfenolových sloučenin zkašované mladině.

2 MATERIÁL, ZAŘÍZENÍ A METODY

2.1 Modelové kvašení

Modelové kvasné zkoušky se prováděly opakováně v období tří let v 10 kvasných válcích na 10 a 12% světlé mladině (zakašovaný objem mladin 35 l), odebírané vždy z provozu jednoho českého pivovaru. Příklady v publikaci uváděných výsledků pocházejí z kvasných zkoušek s 12% mladinou, při kterých byly pro daný pokus zajištěny pro testované kmenny zcela shodné technologické podmínky, tj. složení mladin, provzdušnění ($8.0 \text{ mg.l}^{-1} \text{ O}_2$), hlavní kvašení, které se vedlo vždy při teplotách 7°C , 10°C a 13°C , stejný fyziologický stav a násadní dávka kvasnic (10 ml. bunék/ml). Proto lze zjistit rozdíly výsledků analýz případně genetické odlišnosti studovaných kmennů.

2.2 Kmeny kvasnic

Testovaly se tři kmeny kvasnic, označené podle sbírky VÚPS Praha:
1) kmen č. 2 – středně hluboko – až hlubokoprokvašující, dobre sedimentující,
2) kmen č. 7 – středně hlubokoprokvašující, velmi dobře sedimentující,
3) kmen č. 95 – hluboko prokvašující, dobre sedimentující.

2.3 Použité metody

2.3.1 Stanovení 3-methylbutanal reduktasové aktivity

Princip

Při přenosu vodíku kofaktorem NADPH vzniká aromatický charakter jeho pyrimidinového kruhu, a tím se charakteristicky mění absorbance v UV oblasti [14].

Přístroje a zařízení

Spektrometrit Shimadzu UV 2100, křemenná 1 cm kyvety.
Dezintegrátor Bio Neb.

Roztoky

Směs Triton-aldehyd: 7,5 ml 0,1M MES (kyselina 2-(N-morfolino)ethansulfonová) pH 7,0, 300 µl Triton, 100 µl 3-methylbutanal, 16,8 ml destilované vody, 8,3 mg NADPH v 1 ml destilované vody, 100 mM β-sulfanylethanol.

Příprava vzorku

Z kvasného válce se odebere 1000 ml rozkvašené mladině, ze které se odstředěním při 1000 otáčkách za minutu získá podíl hustých kvasnic. Množství 1 g kvasnic se resuspenderuje 0,1 M MES v tlumičovém roztoku s pH 7,0, který obsahuje 1 mM β-sulfanylethanol, 1 mM fenylmethylylsulfonyl fluorid a 0,2 mM sorbitolu, a směs se rozdrží v tlakovém dezintegrátoru. Pro další práci se použije supernatant získaný odstředěním po dobu 20 min při 10 000 otáčkách za minutu.

Pracovní postup

Do 1 cm křemenné kyvety se napijetuje: 1,5 ml roztok Triton-aldehydu, 30 µl kofaktoru NADPH, 30 µl 100 mM β-sulfanylethanol, 1 ml destilované vody a 0,5 ml kvasničného supernatantu.

Na UV spektrometru se měří absorbance při 340 nm po dobu 4 minut.

Výpočet a vyhodnocení

Výsledná 3-methylbutanalreduktasová aktivity se vyjádří v umol NADPH kofaktoru oxidačně pro kladnu vztahených na mg proteinu, jehož množství se v kvasničném stanoví metodou podle Folina.

2.3.2 Ostatní použité metody

Stanovení kvasničných polysacharidů se provádělo extrakční metodou podle Treveliana a Harrisona [15, 16],

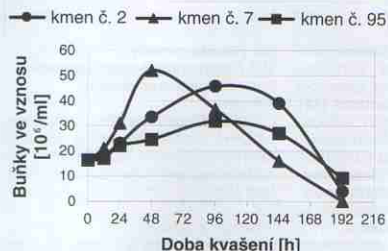
glykogen ještě stanovením fluorescence akrylfavinu [17], měření hydrofobity buněčných povrchů podle Hinchliffe et al. [16, 18], oxidačně-redukční kapacita zkvašované mladiny podle Kennedy [19, 20], Chapona [20, 21] a MEBAK [20, 22], histogramy velikosti (FSC) a granularity (SSC) na průtokovém

cytometru PARTEC – Pas-III [23, 24].

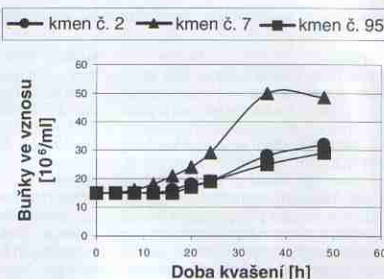
Růstové křivky, stanovení oxidu siřičitého destilačně, stanovení celkových, oxidovaných, oxidovatelných polyfenolů a anthokyjanogenů, jednotlivých aminokyselin na automatickém analyzátoru T339, bylo prováděno podle běžných popsaných postupů [22].

3 VÝSLEDKY A DISKUSE

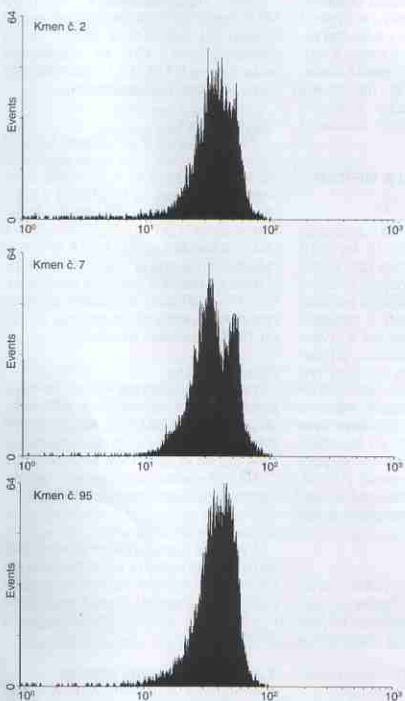
Tvorba vedlejších metabolitů kvasnicními kmeny a dispozice v enzymových aktivitách během fermentace úzce souvisejí s geneticky kodovanou metabolismickou schopností, související s rychlosťí a mírou pomnožení buněk i sedimentační schopnosti. Tyto vlastnosti rovněž



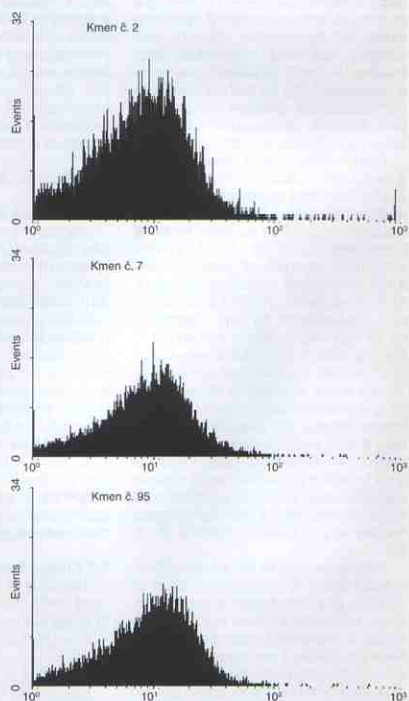
Obr. 1 Růstové křivky tří kmenů kvasnic (mladina 12 % E, teplota kvašení 10 °C)



Obr. 2 Počátek růstové křivky tří kmenů kvasnic (mladina 12 % E, teplota kvašení 10 °C)



Obr. 3 Histogramy velikosti buněk (FSC) tří kmenů kvasnic v 72. hodině kvašení (T 10 °C)



Obr. 4 Histogramy povrchu buněk (SSC) tří kmenů kvasnic v 72. hodině kvašení (T 10 °C)

případě mezi dědičné znaky buněčné populace.

3.1 Rozdíly průběhu růstové křivky u testovaných kmenů

Kvasniční kmen č. 7 vykazoval na růstové křivce v porovnání s kmeny č. 2 a č. 95 kratší lag fázi, strmější fázi eksponentiální s drážejším, ale nižším maximem počtu buněk ve vznosu, drážejší aglutinaci a sedimentaci (obr. 1 a 2). Kmeny č. 2 a č. 95 měly maximum růstové křivky ve stejně době kvašení. U kmenů č. 2 bylo opakovaně při různých podmínkách kvašení maximum růstové křivky vyšší a sedimentace registrovaná úbytkem počtu buněk ve vznosu důraznější než u kmenu č. 95.

Tyto rozdíly v průběhu růstových křivek porovnávaných kmenů korelují s odlišnostmi histogramů velikosti (FSC) a granularity (SSC) buněk. Histogram vyjadruje závislost jedné veličiny na množství buněk prošlých kvetoucího průtokového cytometru za danou dobu.

Na příkladu histogramu velikosti buněk ze 72. hodiny kvašení (obr. 3) je u kmenu č. 7 patrný výskyt dvou vrcholů, zatímco u kmenů č. 2 a č. 95 je vrchol pouze jeden. To dokazuje, že v dané

době kvašení se vyskytovaly u kmenů č. 7 dvě subpopulace. Buněky velikostně větší, tedy buňky s pupenem, jsou reprezentovány vrcholem, který je na horizontální ose více vpravo. Histogramy granularity vyjadřují povrchové vlastnosti buněk, např. zvěrněné povrchu způsobené jizvami po pučení. V 72. hodině kvašení lze pozorovat na histogramu (obr. 4) nižší střední hodnotu vrcholu především u kmenu č. 2, což svědčí o menším množství dělících se buněk v dané době v porovnání především s kmenem č. 7.

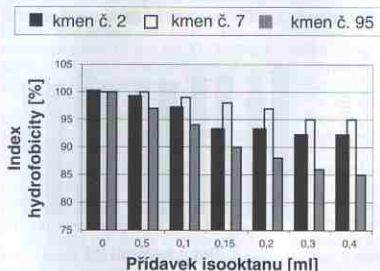
3.2 Rozdíly kvasničních kmenů v tendenci k hydrofobicitě buněčných povrchů

Všechny kvasinky spodního kvašení *Saccharomyces uvarum* vykazují v interakci mezi prostředím a povrchem buněk v zásadě hydrofilní charakter [16, 18, 25]. Kvasinky svrchního kvašení *Saccharomyces cerevisiae* mají vlastnosti hydrofobní. Index hydrofobicity HI je pomer mezi hodnotami absorbancí vodní a uhlovodíkové fáze s kvasniční populací měřené při 660 nm. U kvasinek svrchního kvašení je HI menší než 50 %, u „spodních“ kvasinek větší než 50 %.

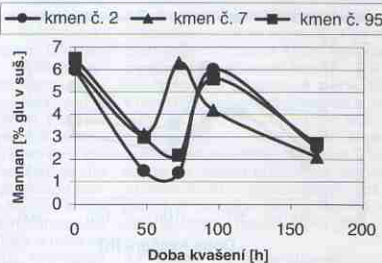
Měření hydrofobicity potvrdilo, že kmeny č. 2, č. 7 a č. 95 patří do skupiny hydrofylních mikroorganismů, protože naměřené hodnoty HI byly větší než 50 % (obr. 5). Prokázalo se však, že i v případě kmenů spodního kvašení se vyskytuje tendence k adhezii některých buněk k oxidu uhlíčitému a část kvasinek se vznáší po přidání organických látek (hexanu, isooctanu, diethyletheru apod.). V tomto směru vykazovalo největší tendenci k hydrofobicitě kmen č. 95, což korelovalo s jeho mírně horší sedimentační schopností v porovnání s kmenem č. 2 a především s kmenem č. 7.

3.3 Rozdíly v degradaci a syntéze polysacharidů buněčných stěn u testovaných kvasničních kmenů během kvašení

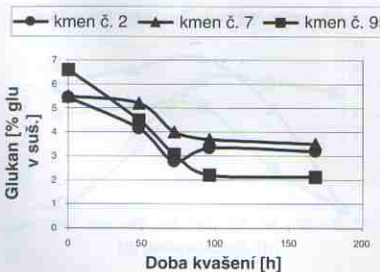
Flokulační a sedimentační schopnost spodních kvasinek je podle dnešních poznatků geneticky podmítněna [26]. Je však ovlivňována i vlastnostmi kultivačního prostředí a metabolickou činností kvasnic [27, 28]. Mezi faktory, které ovlivňují flokulaci a sedimentaci kvasinek a tím i míru metabolické činnosti, patří změny hladin polysacharidů buněčných stěn, především mannanu (obr. 6), méně



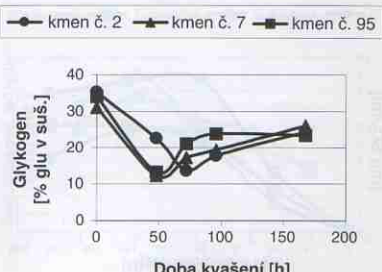
Obr. 5 Změny indexu hydrofobicity (HI) tří kmenů kvasnic během možlových fermentací (T 10 °C)



Obr. 6 Změny hladiny polysacharidu buněčných stěn mannanu u tří kmenů kvasnic během kvašení (T 10 °C)

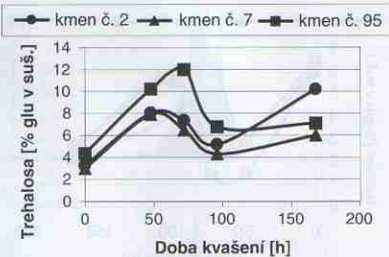


Obr. 7 Změny hladiny polysacharidu buněčných stěn glukanu u tří kmenů kvasnic během kvašení (T 10 °C)



Obr. 8 Změny hladiny rezervního polysacharidu glycogenu u tří kmenů kvasnic během kvašení (T 10 °C)

glukanu (obr. 7) [29]. Obecně se udává, že hůře flokulující a sedimentující prachové kvasnice mají v buněčných stěnách více mannanu než kvasnice dobré sedimentující, tzv. krupičkovité. Rozdíly v obsahu mannanu v buněčných stěnách testovaných kmenů kvasnic a jeho změny během kvašení nebyly výrazné, což souviselo se skutečností, že za stejných podmínek nebyla sedimentační schopnost příliš odlišná (obr. 6). Na počátku kvašení hodnoty mannanu nejdříve poklesla, následovalo nárůst a další pokles. Počátek flokulace a sedimentace koreloval v souladu s údaji v odborné literatuře [29] s dobou kvašení, kdy byla koncentrace mannanu v buněčných stěnách nejnižší. Kmen č. 7 se vyznačoval drážejším docílením maxima koncentrace glukanu v buněčných stěnách během fermentace v porovnání s kmenem č. 2 a č. 95. Naopak po docílení maxima následoval u kmene č. 7 prudký pokles hladiny mannanu, zatím co u dalších dvou hodnocených kmenů byla degradace pozvolnější. S tím zřejmě do určité míry souvisí i zjištované mimořádné rozdíly v době a rychlosti sedimentace kmenů č. 7 v porovnání s kmeny č. 2 a č. 95.



Obr. 9 Změny rezervního disacharidu trehalosy u tří kmenů během kvašení ($T = 10^{\circ}\text{C}$)

3.4 Rozdíly v degradaci a syntéze buněčných polysacharidů u testovaných kvasničních kmenů během kvašení

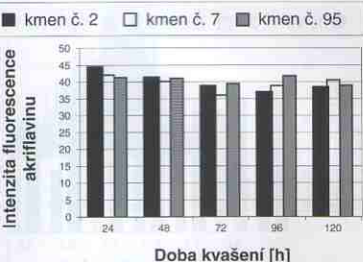
Základní rezervní látkou, využívanou kvasinou k buňkám k získání energie pro pomnožení a metabolickou činnost zvláště na počátku růstu, je glykogen [30]. U kmene č. 7 se stanovily extraktční metodou v porovnání s kmenem č. 2 a č. 95 ve všech šetřeních mírně vyšší hladiny buněčných rezervních polysacharidů, zejména glykogenu (obr. 8), ale i disacharidu trehalosy (obr. 9). U všech tří kmenů hladina glykogenu během kvašení nejdříve poklesla a následně se opět zvýšila vzhledem k syntéze glykogenu buňkami. Tyto poznatky se v současnosti potvrzují metodou založenou na principu měření fluorescence akriflaviny, jejíž hodnoty odpovídají aktuální koncentraci glykogenu buňek v buňkách [17]. Tendence výraznějšího využití glykogenu kmenem č. 7 v prvních 48 až 72 hodinách kvašení a výšší míra jeho syntézy v další fázi kvašení umožňuje v následujícím nasazení rychlejší pomnožení, protože v lag fázi mají buňky k dispozici bohatší energetický zdroj pro syntézu sterolů a mastných kyselin.

3.5 Rozdíly v rychlosti a míře absorpcie aminokyselin mladiny

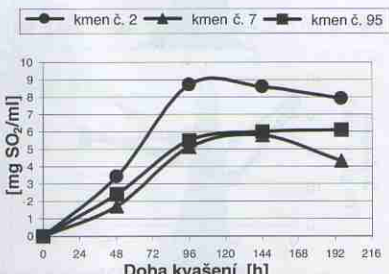
Kvasinky absorbuje aminokyseliny mladiny postupně. Jednotlivé skupiny mohou利用ovat vždy až po poklesu dřívě využitelných sloučenin, především threoninu a serinu k určité hranici [31].

O rozdílu kmenů v absorpcii aminokyselin mladiny včetně kmenů č. 2 a č. 7 jsme již publikovali více prací [32, 33, 34, 35, 36]. V rámci testovaných kmenů diskutovaného v tomto článku se starší výsledky potvrdily. Kmen č. 7 vzhledem k rychlejšímu pomnožení syntetizuje ve zvýšené míře aminokyseliny, které nemůže v době potřeby ještě využívat z mladiny, především včetně aminokyseliny jako lysin. Toto zjištění vysvětluje inklinaci při vyrobených s kmenem č. 7 k výšší hladinám diacetátu, protože jeho buňky exkretují do zkvašovaného média větší množství meziproduktu syntézy lysinu, α -acetolaktátu; v porovnání s ostatními testovanými kmeny. Vyloučeny α -acetolaktát se pak neenzymovou cestou mění na diacetát.

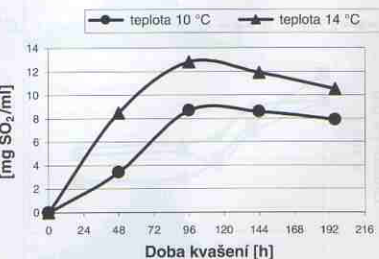
Pokles lysinu na 50 % původního množství v 12% mladině během kvašení při 10°C byl zjištěn u kmene č. 95 v 40. hodině, u kmene č. 2 v 45. hodině



Obr. 10 Změny intenzity fluorescence akriflaviny třemi kmeny (koreluje s obsahem glykogenu) ($T = 10^{\circ}\text{C}$)



Obr. 11 Tvorba oxidu siřičitého třemi kmeny kvasnic během fermentace ($T = 10^{\circ}\text{C}$)



Obr. 12 Vliv teploty kvašení na tvorbu oxidu siřičitého při kvašení s kmenem č. 2

a u kmene č. 7 až v 48. hodině. U kmene č. 7 byla stanovena pomalejší rychlosť i míra utilizace všech aminokyselin mladiny. To může do určité míry ovlivňovat obsah zbytkových aminokyselin v pivu vyrobeném s tímto kmenem. Během pasterače i skladování je možné u takového piva předpokládat vznik většího množství tzv. komponent staré chuti piva typu aldehydů z degradace aminokyselin.

3.6 Rozdíly v průběhu tvorby oxidu sířičitého během kvašení

Tvorba oxidu sířičitého závisí na řadě faktorů, které ovlivňují růst a fyziologický stav kvasinek [37]. Dominantní vliv kmene kvasnic ještě již prokázali dříve [1, 38]. Nejvyšší tvorbu SO₂ dosahovaly všechny tři kmény po docílení maxima růstové krivky (obr. 11). Pak následoval mírný pokles způsobený jednak interakcí v komplexech s karbonyly, jednak možným mírným strháváním s oxidem uhličitým do kvasnicových plnýn [39].

Názor na vliv teploty kvašení na produkci oxidu sířičitého není jednotrný [40, 41]. Uchida a Ono [42] se domnívají, že vliv teploty může být odlišný v závislosti na kmene a fyziologickém stavu kvasnic. Podle Kanedy et al. [41] se tvorba SO₂ snižuje s rostoucí teplotou kvašení, zatímco Nordlov [40] uvádí, že optimální teplota fermentace pro tvorbu SO₂ se pohybuje mezi 14 až 16 °C. Aplikace tlaku od počátku kvašení inhibuje růst kvasnic a uchryluje tvorbu SO₂ [1].

V našich výzkumech dříve i v současnosti jsme zjistili nárůst maxima tvorby SO₂ se zvýšením teploty kvašení (zkušeno 7 °C, 10 °C, 13 °C a 18 °C) u všech tří kmén č. 2, č. 7 a č. 95, ale i intenzivněji následující pokles, jak je patrné z příkladu kvašení s kmensem č. 2 při dvou teplotách (obr. 12).

Na rozdíl od jiných autorů [42, 43], kteří uvedli, že s vyšší násadní dávkou kvasnic tvorba SO₂ mírně roste, jsme u žádného z testovaných kmén nezjistili průkazný rozdíl při použití dávek od

10 do 25 milionů buněk na ml (obr. 13). Tvorbu SO₂ významně ovlivňuje fyziologický stav kvasnic. Hladovění nebo stárnutí kvasnic před nasazením ji zvyšuje. Během stárnutí kvasinek se snižuje hladina glykogenu v buňce. Pickerell et al. [44] zjistili souvislost mezi jeho obsahem v násadách kvasnicích a hladinou SO₂ ke konci fermentace. Procedury způsobující vyčerpání glykogenu, např. zvýšená teplota nebo doba skladování, mají za následek zvýšenou produkci SO₂.

Nejvyšší maximum tvorby SO₂ opakovány vykazoval při všech podmínkách kvašení kmen č. 2, mírně nižší kmen č. 95 a nejnižší kmen č. 7, u kterého se zjistila inklinace k vyššímu obsahu buňčného glykogenu.

Protiže se ve všech pokusech porovnávaly kmény ve stejném fyziologickém stavu, lze rozdíly v tvorbě SO₂ připisat mírně odlišným genetickým vlastnostem sledovaných kmén kvasnic v utilizaci síry.

Sířičitan jsou intermediáty při analzbismu síry do sírných aminokyselin methioninu a cysteiny. Zdrojem síry pro kvasničnou bunku jsou anorganické sírany, které jsou přenášeny permeasou do buňky a přeměňovány ATP-sulfurylasou (ATP, EC 2.7.7.4) na adenylylsulfát (APS) a dále APS-kinasou na fosfoadenylylsulfát (PAPS), který je PAPS-reduktasou převeden na sířičitan. Účinkem sulfit reduktasy (S-R, EC 1.8.9.9) je sířičitan redukován na sulfid, který je využit k syntéze cysteiny, methioninu a S-adenosylmethioninu (SAM). Poslední z nich transkripčně reprekruje většinu genů, pokud ne všechny, které se podílí na utilizaci síry [45]. Dráha utilizace síry je pod metabolickou a genetickou kontrolou. Z toho plyne, že exkrece sulfitu musí být způsobena nerovnováhou mezi produkci a spotřebou sířičitanu nebo interakcí s další sloučeninou. Akumulace kvasince pak může vést k úniku volného i vázaného sířičitanu cytoplazmatickou membránou do kvasicí mladiny.

Brewer a Fenton [46] zjistili, že během doby maximální produkce SO₂ je poměr aktivity enzymů APS/sulfurylreduktasa třikrát až šestkrát nižší u kmén s nízkou produkci SO₂ oproti kménům s produkci vysokou. Druhou možností je, že sulfit je odčerpáván tvorbou aduktu s acetálddehydem. Tím dochází k nedostatku methioninu a je aktivována absorpcie a redukce síranu [39]. Aktivní kvasice kvasinice je předpokládem pro exkreci sulfitu, která ustává na konci fermentace, kdy jsou vyčerpány zdroje energie pro konverzi síranu. Na počátku fermentace začíná exkrece po lag-fázi a rychle roste poté, co je téměř vyčerpán methionin v médiu. Rozhodující je růst mezi lag fází a koncem fermentace. Dokud pokračuje růst, jsou vyšší požadavky na sírné aminokyseliny a exkrece sulfitu zůstává na nízké úrovni. Jakmile je růst ukončen, první část fáze, která vede ke konverzi síranu na sířičitan, je stále aktivní, zatímco snížená potřeba sírných aminokyselin a nižší aktivity sulfurylreduktasy způsobují jeho akumulaci a exkrekci, dokud je přítomen zkvasitelný extrakt. Proto je exkretováno do médií tím více sulfitu, čím více extraktu je zkvašeno po ukončení růstové fáze [37].

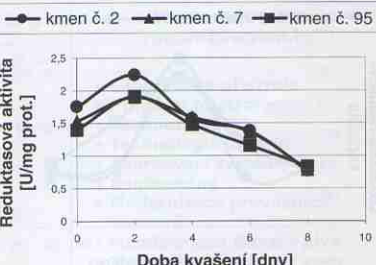
Kmen č. 7 se strmým nárůstem buňčné populace v exponeční fázi vyčerpává energetický potenciál a po dosažení maxima růstové krivky aglutinuje a sedimentuje dříve než kmény č. 2 a č. 95. Proto není schopen ve stejné míře v této fázi zkvašovat zbylý extrakt a produkce SO₂ je u něj nižší. Kromě toho se zřejmě budou u sledovaných kmén v mírně lišit genetické dispozice odpovědné za iniciaci příslušných enzymů v metabolismu sírných sloučenin, což je podrobnejší popsáno např. v literární rešerši diplomové práce VŠCHT [20].

3.7 Rozdíly v 3-methylbutanal reduktasové aktivity kvasnicích kmén během fermentace

Enzym 3-methylbutanalreduktasa



Obr. 13 Vliv násadní dávky kvasnic na tvorbu oxidu sířičitého při kvašení s kmensem č. 2 (T 10 °C)



Obr. 14 Vývoj aktivity 3-methylbutanal reduktasy při kvašení s třemi kmény kvasnic (T 10 °C)

umožňuje kvasinkové populaci redukovat komponenty staré chuti příslušných aldehydů. Při stejně teplotě kvašení vyzkoušel nejvyšší aktivitu enzymu 3-methylbutanal reduktasy kmen č. 2, nejnižší kmen č. 7 (obr. 14). Maximální dosahovala tato aktivita v exponentiální fázi růstu kvasničních buněk, poté byl zaznamenán mírný pokles. Z příkladu kvasnice zkoušky s kmenech č. 2 je patrné, že maximum reduktasové aktivity se zvýšilo při teplotě kvašení 13 °C v porovnání s kvašením při teplotě 10 °C, ale následný pokles v důsledku rychlejší inhibice enzymové aktivity byl důraznější (obr. 15). Při teplotě kvašení 7 °C nebyly rozdíly v aktivitě 3-methylbutanal reduktasy u všech tří kmenech výrazné během celé fermentace, aktivita byla celkově nižší, ale tendence v zlepšení a poklesu se zachovaly.

3.8 Vliv kmene kvasnic na změny oxidačně-redukční kapacity zkvašované mladiny

Hodnota oxidačně-redukční kapacity vyjadřuje stav mladiny či piva z hlediska odolnosti vůči oxidačním změnám některých látek extraktu. Udává jakousi početnost substancí v oxidované a redukované formě příslušných vratných reakcí.

Chapon a Kretschmer [47] prokázali určitou souvislost mezi redukční schopností a koloidní a senzorickou stabilitou piva. Jejich výzkumy např. potvrdily význam fenolických sloučenin jakožto přirozených antioxidantů piva. Uchida a Ono [48] se domnívají, že senzorická stabilita piva je determinována endogenní antioxidační kapacitou, která je ovlivněna každým krokem pivovarského procesu od surovin po stáčení. Vysledky stanovily oxidačně-redukční kapacity v mladlině zkvašované paralelně kmene č. 2, č. 7 a č. 95 metodami podle Kanedy [19], Chaponu [21] a MEBAK [22], z nichž každá registruje rozdílné skupiny látek, neprokázaly vliv kmene kvasnic na toto kritérium (obr. 16, 17, 18). Neprokázaly se ani významný vliv teploty kvašení. Nárůst oxidačně-redukční kapacity v prvních 28 hodinách kvašení lze spojit s nárůstem biomasy a spotřebou rozpuštěného kyslíku v mladlině.

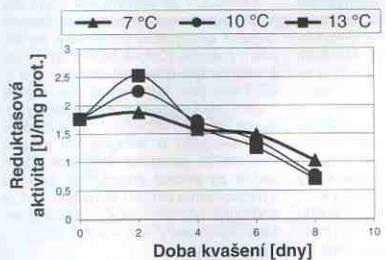
Z uvedených výsledků vyplývá, že dominantní vliv na oxidačně-redukční vlastnosti piva má podíl sloučenin v redukované formě, pocházejících ze surovin, tj. sladu a chmele, a jejich změny způsobené podmínkami technologického procesu.

3.9 Průběh změn polyfenolů během pokusných fermentací

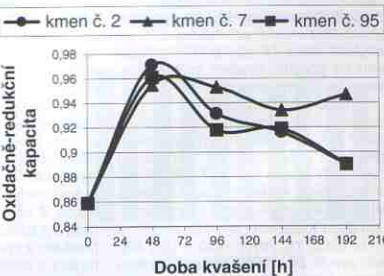
Polyfenolové sloučeniny piva mají významnou pozitivní i negativní účast ve fyzičko-chemických a senzorických vlastnostech piva [49]. Oxidované polyfenoly přispívají v různých reakcích k tvorbě koloidních zákalů i k „staré“ chuti piva. Naopak redukované formy podporují dlouhodobé uchování čistoty i „čerstvosti“ chuti piva [50].

Účelné vyšrážení v roztoku nestabilních, především oxidovaných polyfenolů a jejich vyloučení během chlazení mladiny a kvašení, je jedním z předpokladů zvýšení odolnosti piva proti tvorbě koloidních zákalů i senzorických změn. Tento činný proces je do značné míry závislý na změnách pH a oxidačně-redukční kapacitě fermentačního média, což jsou kritéria, která ovlivňují kromě technologických podmínek i vlastnosti použitého kvasnic.

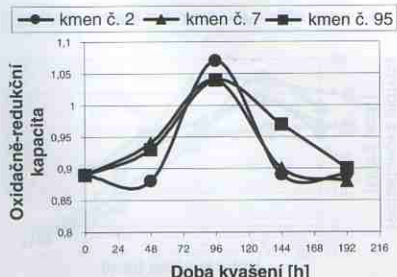
Z provedených modelových fermentací lze usuzovat na vliv teploty při poklesu hodnot celkových polyfenolů. Při vyšší průměrné teplotě hlavního kvašení se zaznamenal hlubší pokles hodnot celkových polyfenolů. Podobný závěr lze vyslovit pro snížení hladiny oxidovaných polyfenolů



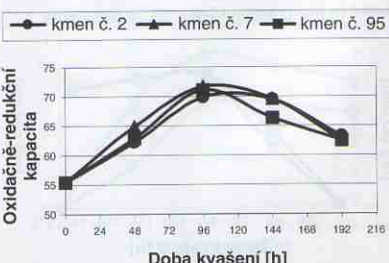
Obr. 15 Vliv teploty kvašení na změny aktivity 3-methylbutanal reduktasy u kmene č. 2 během fermentace



Obr. 16 Vývoj oxidačně-redukční kapacity zkvašované mladiny třemi kmeny kvasnic (metoda podle Kanedy, T 10 °C)



Obr. 17 Vývoj oxidačně-redukční kapacity zkvašované mladiny třemi kmeny kvasnic (metoda podle Chaponova, T 10 °C)



Obr. 18 Vývoj oxidačně-redukční kapacity zkvašované mladiny třemi kmeny kvasnic (metoda podle MEBAK, T 10 °C)

v průběhu kvašení. Pokles oxidovaných polyfenolů při teplotě kvašení 13 °C do-sahoval hodnot okolo 80 % v porovnání s koncentrací ve výchozí mladlině. Vliv teploty kvašení na změny oxidativních polyfenolů se nepotvrdil. Nebyl zjištěn podstatný rozdíl v hodnotách poklesu sledovaných skupin polyfenolových sloučenin při fermentaci s kmeny č. 2, č. 7 a č. 95 za stejných technologických podmínek, což naznačilo, že vlastnosti použitého kmene kvasnic nemají významnou roli v procesu snižování hladin polyfenolových sloučenin během kvašení.

4 ZÁVĚR

Správný výběr kmene kvasnic a jeho fyziologický stav ovlivňují nejen plynný průběh technologie a docílení základních chemických a biochemických znaků a typického buketu daného druhu piva, ale mohou přispět i k oddalení tvorby koloidních zákalů a senzorických změn výrobku během skladování.

Literatura

- [1] Basařová, G., Vernerová, J., Sevcík, L., Janoušek, J.: Kvasny Prum. **43**, 1997, s. 164.
- [2] Illet, D., R.: Tech. Q. Master Brew. Assoc. Am., **32**, 1995, s. 213.
- [3] Fernandes S. M., V. Rangel, A. O. S. S.: J. Inst Brew. **104**, 1998, s. 203.
- [4] Kaneda, H. et al.: J. Inst. Brew. **97**, 1991, s. 105.
- [5] Kaneda, H.: Proc. 24th EBC, Oslo, 1996, s. 116.
- [6] Hansen, J., Kielland-Brandt, M. C.: Proc. 25th EBC, Brussels, 1995, s. 319.
- [7] Vernerová, G., Mikyska, A., Basařová, G.: **29**, 1983, s. 121.
- [8] Narziss, L.: Brauwelt **45**, 1998, s. 2286.
- [9] Basařová, G., Mikyska, A.: Kvasny Prum. **28**, 1982, s. 218.
- [10] Forster, C., Bach, W.: Tech. Q. Master Brew. Assoc. Am., **37**, 2000, s. 59.
- [11] Debourg, A., Laurent, M., Goosens, E., Borremans, E., Van de Winkel, L., Masschelein, A.: J. Am. Soc. Brew. Chem. **52**, 1994, s. 100.
- [12] Van Nedervelde, L., Verlinden, D., Phillip, D., Debourg, A.: Proc. 26 th EBC, Maastricht, 1997, s. 447.
- [13] Veselý, P., Van Nedervelde, L.: Purifikace kvasničné 3-methylbutanal reduktasy a její vliv na redukci aldehydů během hlavního kvašení, 30. Pivovarsko-sladařský seminář, Plzeň, 4. – 5. 10. 2000.
- [14] Laurent, M., Geldorf, B., Van Nedervelde, L., Dupire, S., Debourg, A.: Proc. 25th EBC, Brussels, 1995, s. 397.
- [15] Trevelyan, W. E., Harrison, J. S.: J. Biochem. **63**, 1956, s. 23.
- [16] Khevaliy: A.: Metody výběru, posouzení a zavádění nových kmenů pivovarských kvasinek do praxe. Disertační práce kandidát věd (CSc.), VŠCHT, Praha, 1992.
- [17] Hutter, K. J., Remot, M., Müller, S.: Monatsschr. Brauwiss. **53**, 2000, s. 68.
- [18] Hinrichsen, E., Box, W. G., Walton, E. F., Appleby, M.: Proc. 20th EBC, Helsinki, 1985, s. 323.
- [19] Kaneda, H., Kobayashi, N., Furusato, S., Sahara, H., Kashino, S.: Tech. Q. Master Brew. Assoc. Am., **32**, 1995, s. 90.
- [20] Želizková, Z.: Vliv kmene kvasnic na oxidačně-redukční vlastnosti piva. Diplomová práce VŠCHT, Praha, 2002.
- [21] Chapon, L., Louis, C., Chapon, S.: Proc. 13th EBC, Estoril, 1971, s. 307.
- [22] Basařová, G. a kol.: Pivovarsko-sladařská analytika 1, 2, 3, Merkanta, Praha, 1992 (1.dil), 1993 (2. a 3. díl).
- [23] Boyd, A. J.: Inst. Brew. **106**, 2000, s. 319.
- [24] Slížová, M.: Aplikace fluorescenčních metod ke studiu morfologických a fyziologických vlastností pivovarských kvasinek. Diplomová práce VŠCHT, Praha, 2001.
- [25] Rosenberg, M., Gutnick, D., Rosenberg, E.: FEMS Mikrobiol. Lett. **9**, 1980, s. 29.
- [26] Kobayashi, O., Hayashi, N., Sone, H.: Proc. 25th EBC, Brussels 1995, s. 361.
- [27] Teixeira, J. M., Teixeira, J. A., Mata, M., Manuela, M., Guerra, B., Machado Cruz, J. M., Sá Almeida, A. M.: Proc. 23th EBC, Lisbon, 1991, s. 241.
- [28] Watari, J., Takata, V., Murarami, J., Kashino, S.: Genetic Engineering (EBC 1991) s. 297.
- [29] Masschelein, C., A., Jeunehomme – Ramos, Cl., Castiau, C., Dewreux, A.: J. Inst. Brew. **69**, 1963, s. 332.
- [30] Steward, G.G., Russel, I.: J. Inst. Brew. **92**, 1966, s. 540.
- [31] Basařová, G.: Studia racionálnizace a modernizace postupu zvýšení koloidní stability piva. Dí-sertační práce doktora technických věd (DrSc.), VŠCHT, Praha, 1977.
- [32] Basařová, G., Černá, I.: Kvasny Prum. **18**, 1972, s. 55 a s. 78.
- [33] Basařová, G.: Černá, I.: Kvasny Prum. **18**, 1972, s. 145.
- [34] Basařová, G.: Brauwissenschaft **27**, 1974, s. 244.
- [35] Basařová, G., Janoušek, J.: Kvasny Prum. **46**, 2000, s. 46.
- [36] Basařová, G.: Kvasny Prum. **48**, 2002, s. 61.
- [37] Crumplin, R., D'Amore, T., Slaught, C., Steward, G.G.: Proc. 24th EBC, Oslo, 1993, s. 267.
- [38] Bláha, M., Veselý, P., Basařová, G.: Vliv kmene kvasnic na tvorbu oxida silíčitého při pivovarském kvašení. Pivovarsko-sladařské dny Brno 2000 (postér), Kvasny Prum. **46**, 2000, příloha s. 15.
- [39] Van Haecht, J. L., Dufour, J., F.: Cerevisia **20**, 1995, s. 51.
- [40] Nordlov, H.: Proc. 20th EBC, Helsinki 1985, s. 291.
- [41] Kaneda, H., Kimura, T., Kano, Y., Kashimo, S., Osawa, T., Kawakishi, S.: J. Ferment. Bioeng. **72**, 1991, s. 26.
- [42] Uchida, M., Ono, M.: J. Am. Soc. Brew. Chem. **58**, 2000, s. 8.
- [43] Narziss, L., Reicheneder, E., Notholt, H.: Brauwelt **122**, 1992, s. 627.
- [44] Pickerell, A. T. W., Hwang, A., Axcell, B. C.: J. Am. Soc. Brew. Chem. **49**, 1991, s. 87.
- [45] Hansen, J., Kielland – Brandt, M.C.: Proc. 25 th EBC, Brussels, 1995, s. 319.
- [46] Brewer, J. D., Fenton, M., S.: Proc. 16 th Conv. Inst. Brew. (Aust. N.Z. Sect.), 1980, s. 155.
- [47] Chapon, L., Kretschmer, K. F.: Monatsschr. Brauwiss. **54**, 2001, s. 181.
- [48] Uchida, M., Ono, M.: J. Am. Soc. Brew. Chem. **54**, 1996, s. 198.
- [49] Basařová, G.: Food Microstructure **9**, 1990, s. 155.
- [50] Wackerbauer, K., Anger, H. M.: Monatsschr. Brauwiss **34**, 1984, s. 153.

Zpracováno podle přednášky na 31. Pivovarsko-sladařském semináři v Plzni 25. a 26. 9. 2002

Do redakce došlo 16. 10. 2002

PRŮTOKOVÁ PASTERACE


NORIT
MEMBRANE TECHNOLOGY



DN 50	75 - 150 hl/h
DN 65	115 - 230 hl/h
DN 80	180 - 360 hl/h
DN 100	275 - 550 hl/h

REGOM INSTRUMENTS s.r.o.

REGOM
INSTRUMENTS

Tel.: 241 402 206
Fax: 241 400 290

www.regom.cz
regom@regom.cz

- Laboratorní přístroje
- Procesní přístroje
- Technologie CO₂
- Technologie kvasnic
- Vzorkovací systémy
- Engineering
- Modernizace provozních souborů
- Membránová filtrace piva
- Membránová úprava vody
- Soubory PT